

УДК 533.9.011(031)

Г.Ю. ДАУТОВ\*, Н.Ф. КАШАПОВ\*\*, И.И. ФАЙРУШИН\*\*, Е.А. ЕГОРОВА\*

## ХАРАКТЕРИСТИКИ ПОТЕНЦИАЛЬНОЙ ЯМЫ ДЛЯ НЕВЫРОЖДЕННОГО ЭЛЕКТРОННОГО ГАЗА В РАВНОВЕСНОЙ ПЫЛЕВОЙ ПЛАЗМЕ

Рассчитана форма потенциальной ямы для электронов пылеэлектронной плазмы в зависимости от температуры, размеров пылевых частиц, расстояния между ними и рода вещества, из которого они состоят. Установлено, что форма потенциальной ямы существенно отличается от прямоугольного приближения.

**Ключевые слова:** пылевая плазма, потенциальная яма, невырожденный электронный газ.

Пылевая плазма, в которой концентрация ионизованных атомов газа пренебрежимо мала по сравнению с концентрацией электронов, называется пылеэлектронной плазмой [1–6]. Такая плазма образуется в процессах сгорания различных топлив при атмосферном давлении, плазмохимических реакторах, в каналах МГД-генераторов и в ряде процессов получения функциональных покрытий с использованием газовых разрядов [7, 8]. При температуре рабочего газа от 1000 до 2000 К твердые или жидкие пылевые частицы заряжены положительно в результате электронной эмиссии с поверхности, и поэтому газовая фаза содержит свободные электроны. Наличие заряженных пылевых частиц приводит к неравномерному распределению потенциала электрического поля и образованию потенциальных ям для электронов.

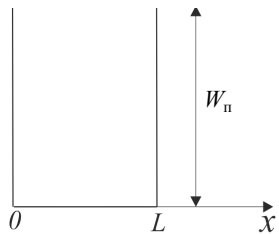


Рис. 1. Схематическое изображение потенциальной ямы

Характерный линейный размер твердой частицы,  $W_n$  – глубина потенциальной ямы. Предполагается, что в областях  $x < 0$  и  $x > L$  концентрация свободных электронов равна нулю.

Покажем, что такое приближение имеет ряд существенных недостатков. Условие статистического равновесия электронного газа записывается в виде [9]

$$\mu - q\varphi = \text{const}, \quad (1)$$

где  $\mu$  – энергия Ферми;  $q$  – абсолютное значение заряда электрона;  $\varphi$  – потенциал электрического поля.

Запишем теорему Гаусса для электростатического поля

$$\iint_S E_\psi dS = \frac{Q}{\epsilon\epsilon_0}, \quad (2)$$

где  $\epsilon$  – относительная диэлектрическая проницаемость;  $\epsilon_0$  – электрическая постоянная;  $S$  – произвольная замкнутая поверхность;  $\psi$  – внешняя нормаль этой поверхности;  $E$  – вектор напряженности электрического поля;  $E_\psi = E \cos \alpha$  – проекция вектора напряженности электрического поля на внешнюю нормаль  $\psi$ ;  $Q$  – заряд внутри  $S$ . Если в качестве  $S$  взять поверхность пылевой частицы в виде шара радиусом  $R$ , то уравнение (2) принимает вид

$$4\pi R^2 \epsilon \epsilon_0 E(R) = Q. \quad (3)$$

Если электроны имеются только внутри частицы в области  $r \leq R$ , объемный заряд  $Q$  будет равен нулю. Тогда из (3) получим, что  $E(R) = 0$ .

Из (1) находим

$$\frac{d\mu}{dr} - q \frac{d\varphi}{dr} = 0. \quad (4)$$

Энергия Ферми невырожденного электронного газа равна [8]

$$\mu = \theta \cdot \ln \left[ \frac{n_e}{2} \left( \frac{h^2}{2\pi m \theta} \right)^{3/2} \right]. \quad (5)$$

Подстановка этого выражения в (4) с учетом связи потенциала с напряженностью поля дает

$$\theta \frac{dn_e}{dr} + n_e q E = 0.$$

Отсюда с учетом уравнения состояния для невырожденного электронного газа

$$p = n_e \theta, \quad (6)$$

где  $\theta = kT$  – статистическая температура;  $k$  – постоянная Больцмана;  $T$  – абсолютная температура, находим

$$\frac{dp}{dr} + n_e e E = 0. \quad (7)$$

Величина  $\frac{dp}{dr}$  есть сила давления, действующая на единицу объема электронного газа, а  $F = n_e q E$  – сила, действующая на единицу объема электронного газа со стороны электрического поля. Если в области  $r < R$  концентрация электронов постоянна и равна  $n_{e0}$ , а при  $r \geq R$  она равна нулю, то при  $r = R$  будем иметь  $\frac{dp}{dr} = \infty$ , а сила  $n_e q E(R)$  равна нулю. Таким образом, уравнение (7) не выполняется. Следовательно, предположение о постоянстве концентрации электронов в области  $r < R$  и отсутствие электронов в области  $r > R$  ошибочное. Для устранения этой ошибки более подробно рассмотрим параметры потенциальной ямы, распределения потенциала и концентрации электронов внутри пылевой частицы и в ее окрестности.

Рассмотрим эту проблему в случае сферических частиц. Пусть внутренний радиус твердой частицы равен  $R_1$ , внешний радиус  $R$ , в области  $R_1 \leq r \leq R$  концентрация дырок равна  $n_i$  и электронный газ в зоне проводимости является невырожденным. Будем считать, что расстояние между пылевыми частицами  $2l$  и  $l \gg R$ . В таком случае можно приближенно считать, что распределение параметров сферически-симметричное.

Найдем распределение потенциала  $\phi(r)$  и концентрации электронов  $n_e(r)$  в области  $0 \leq r \leq l$  при следующих условиях:

$$n_i(r) = \begin{cases} 0, & \text{в области } r < R_1 \text{ и } r > R, \\ \text{const}, & \text{в области } R_1 \leq r \leq R, \end{cases} \quad (8)$$

$$\phi'(0) = 0, \quad \phi'(l) = 0. \quad (9)$$

Теорему Гаусса (2) для этого случая запишем как

$$\iint_S \epsilon \epsilon_0 E_\psi dS = \iiint_V (n_i - n_e) q dV, \quad (10)$$

где  $V$  – объем внутри поверхности  $S$ .

С учетом распределения Больцмана для электронного газа

$$n_e = n_{e0} e^{\frac{q\phi}{kT}} \quad (11)$$

из (10) получается уравнение Пуассона – Больцмана

$$\frac{1}{r^2} \frac{d}{dr} \left( r^2 \frac{d\phi}{dr} \right) = \frac{q}{\epsilon \epsilon_0} \left( n_{e0} e^{\frac{q\phi}{kT}} - n_i \right). \quad (12)$$

Введением безразмерных величин

$$x = \frac{r}{R}, \quad \phi = \frac{q\phi}{kT}, \quad \bar{n}_i = \frac{n_i}{n_{e0}}, \quad a^2 = \frac{q^2 R^2 n_{e0}}{kT \epsilon \epsilon_0} \quad (13)$$

из (12) получим

$$\frac{1}{x^2} \frac{d}{dx} \left( x^2 \frac{d\phi}{dr} \right) - a^2 \left( e^\phi - \bar{n}_i \right) = 0.$$

Рассмотрим случай, когда  $|\phi| \ll 1$ . Разложим величину  $e^\phi$  в ряд Тейлора и ограничимся первыми двумя членами, т.е.  $e^\phi = 1 + \phi$ . С учетом этого выражения получим

$$\frac{1}{x^2} \frac{d}{dx} \left( x^2 \frac{d\phi}{dr} \right) = a^2 (1 + \phi - \bar{n}_i). \quad (14)$$

Общим решением уравнения (14) является функция

$$\phi(x) = \bar{n}_i - 1 + \frac{Ae^{ax} + Be^{-ax}}{x}. \quad (15)$$

В области  $0 \leq x \leq \frac{R_1}{R}$  распределение потенциала при условии  $\phi_1(l) = 0$  и  $\bar{n}_i = 0$  имеет вид

$$\phi_1(x) = -1 + \frac{e^{ax} - e^{-ax}}{2ax}. \quad (16)$$

В области  $\frac{R_1}{R} \leq x \leq 1$  распределение потенциала запишется как

$$\phi_2(x) = \bar{n}_i - 1 + \frac{C_3 e^{ax} + C_4 e^{-ax}}{x}, \quad (17)$$

$$\text{где } C_3 = \frac{1}{2a} - \frac{R_1}{2aR} \bar{n}_i e^{-\frac{aR_1}{R}} \left( a + \frac{R}{R_1} \right); \quad C_4 = -\frac{1}{2a} - \frac{R_1}{2aR} \bar{n}_i e^{\frac{aR_1}{R}} \left( a - \frac{R}{R_1} \right).$$

Распределение потенциала  $\phi_3(x)$  в области  $1 \leq x \leq \frac{l}{R}$  имеет вид

$$\phi_3(x) = -1 + \frac{C_5 e^{ax} + C_6 e^{-ax}}{x}. \quad (18)$$

Постоянные  $C_5$  и  $C_6$  определяем из условий  $\phi_2(1) = \phi_3(1)$ ,  $\phi_2'(1) = \phi_3'(1)$ . Условие  $\phi'(l) = 0$  используется для определения концентрации электронов  $n_{e0}$  в точке  $x = 0$ , которая входит во все предыдущие формулы.

Для установления формы потенциальной ямы воспользуемся следующим выражением, определяющим распределение потенциальной энергии электронов  $W$  от координаты  $r$ :

$$W(r) = \phi(l) - \phi(r). \quad (19)$$

Результаты расчета по формуле (19) для случая сферических частиц при  $T = 1000$  К,  $R_1 = 2 \cdot 10^{-7}$  м,  $R = 10^{-6}$  м,  $n_i = 10^{18}$  м<sup>-3</sup>,  $l = 10^{-5}$  м показаны на рис. 2, а. Как видно, в области  $r > R$  величина  $W$  увеличивается, что объясняется выходом части электронов из пылевой частицы в окружающее пространство.

В частном случае при  $R_1 = 0$  полученные формулы существенно упрощаются. В частности, для распределения потенциала получаются формулы

$$\phi(x) = \frac{e^a (a-1) - \left( \frac{a\lambda - 1}{a\lambda + 1} \right) e^{a(2\lambda-1)} (a+1)}{2a \left( e^a (a-1) - (a+1) \left( \frac{a\lambda - 1}{a\lambda + 1} \right) e^{a(2\lambda-1)} + 1 + \left( \frac{a\lambda - 1}{a\lambda + 1} \right) e^{2a\lambda} \right)} \left( \frac{e^{ax} - e^{-ax}}{x} - 2a \right) \text{ при } 0 \leq x \leq 1,$$

$$\phi(x) = -1 + \frac{e^a (a-1) + e^{-a} (a+1)}{2a \left( e^a (a-1) - (a+1) \left( \frac{a\lambda - 1}{a\lambda + 1} \right) e^{a(2\lambda-1)} + 1 + \left( \frac{a\lambda - 1}{a\lambda + 1} \right) e^{2a\lambda} \right)} \frac{e^{ax} + \left( \frac{a\lambda - 1}{a\lambda + 1} \right) e^{a(2\lambda-x)}}{x} \text{ при } 1 \leq x \leq \lambda,$$

где  $\lambda = l/R$ .

Результаты расчета для случая шара при  $T=1000$  К (кривая 1) и при  $T=2000$  К (кривая 2),  $R=10^{-5}$  м,  $n_i=10^{18}$  м<sup>-3</sup>,  $l=10^{-4}$  м представлены на рис. 2, б.

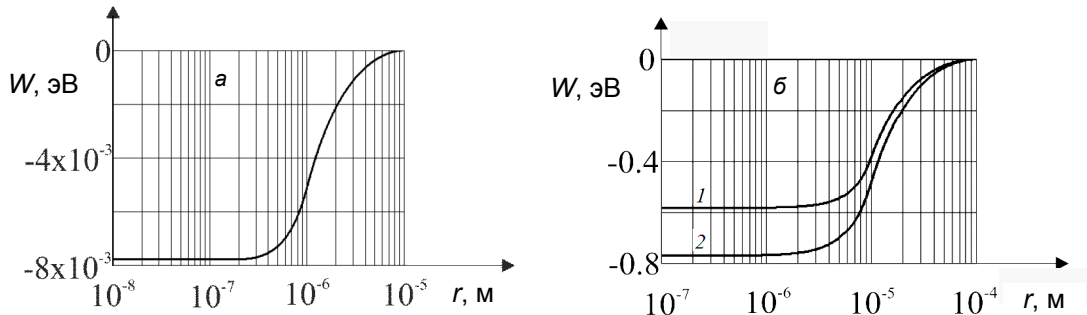


Рис. 2. Результаты расчета распределения потенциальной энергии электронов  $W$  от координаты  $r$  для двух случаев: сферических частиц (а) и шара (б)

Как видно, параметры потенциальной ямы зависят от температуры. При повышении температуры глубина потенциальной ямы увеличивается. Данный эффект связан с увеличением давления электронного газа и, как следствие, большим выходом электронов за пределы пылевой частицы с повышением температуры. Таким образом, установлено, что в общем случае потенциальная яма не является прямоугольной, а имеет более сложную геометрию.

#### СПИСОК ЛИТЕРАТУРЫ

1. Фортов В. Е., Храпак А. Г., Якубов И. Т. // Физика неидеальной плазмы: учеб. пособие. – М.: Физматлит, 2004. – 528 с.
2. Даутов Г. Ю., Сабитов Ш. Р., Файрушин И. И. // Вестник КГТУ им. А.Н. Туполева. – 2007. – № 1. – С. 29–32.
3. Даутов Г. Ю., Даутов И. Г., Файрушин И. И. // Вестник КГТУ им. А.Н. Туполева. – 2009. – № 1. – С. 57–59.
4. Даутов И. Г., Марданшин Р. М., Файрушин И. И., Ашрапов Т. Ф. // Вестник КГТУ им. А.Н. Туполева. – 2010. – № 3. – С. 143–148.
5. Даутов И. Г., Кашапов Н. Ф., Марданшин Р. М., Файрушин И. И. // Вестник КГТУ им. А.Н. Туполева. – 2010. – № 4. – С. 134–136.
6. Vishnyakov V. I. // Phys. Rev. E. – 2012. – V. 85. – P. 026402.
7. Гаврилова В. А., Кашапов Н. Ф., Тукмаков А. Л., Тукмаков Д. А. // Вестник КГТУ им. А.Н. Туполева. – 2012. – № 2. – С. 177–182.
8. Солоненко О. П., Гуляев И. П., Смирнов А. В. // Письма в ЖТФ. – 2008. – Т. 34. – № 24. – С. 22–27.
9. Ландау Л. Д., Лифшиц Е. М. // Статистическая физика. Сер. Теоретическая физика. Т. V. – М.: Наука, 1976. – 584 с.

\*Казанский национальный исследовательский технический университет им. А.Н. Туполева – КАИ, г. Казань, Россия

Поступила в редакцию 30.12.13.

\*\*Казанский (Приволжский) федеральный университет, г. Казань, Россия

E-mail: fairushin\_ilnaz@mail.ru

Даутов Гали Юнусович, д.т.н., профессор, профессор;  
Кашапов Наиль Фаикович, д.т.н., профессор, профессор;  
Файрушин Ильназ Изайлович, к.т.н., ассистент;  
Егорова Елена Александровна, аспирантка.